

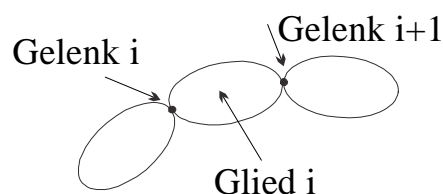
## 14 Lösung der kinematischen Probleme

[\(English\)](#)

### 14.1 Beschreibung von Denavit-Hartenberg

Bisher wurden die verwendeten Koordinatensysteme „ad hoc“ gewählt, z.B. beim Scararoboter die x-Achsen längs der Armachsen. Es ist zweckmäßig, eine Vereinheitlichung vorzunehmen, damit auch verschiedene Anwender stets zur gleichen Beschreibung kommen. Im Prinzip geht es darum, vom (i-1)-ten Koordinatensystem zum i-ten voranzuschreiten.

Beschränkt man sich auf Drehachsen und Linearachsen (letztere auch prismatische Achsen genannt), so gibt es beim i-ten Glied einer kinematischen Kette, falls diese zu zwei kinematischen Paaren gehört (Normalfall beim Roboter), nach Bild 14-1 folgende vier Möglichkeiten:

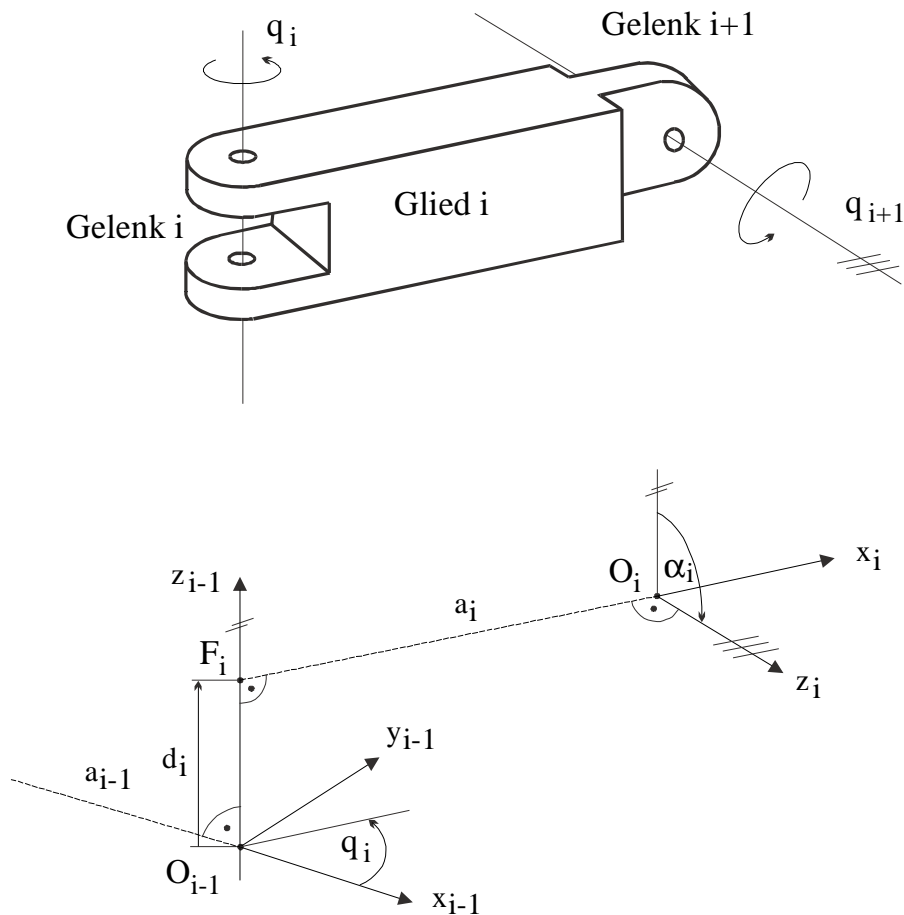


Gelenk i	Gelenk i+1
Drehgelenk	Drehgelenk
Drehgelenk	Linearachse
Linearachse	Drehgelenk
Linearachse	Linearachse

Bild 14-1: Bezeichnung der Gelenke beim i-ten Glied einer kinematischen Kette. Kombinationsmöglichkeiten, falls man sich auf Drehgelenke und Linearachsen beschränkt.

Die Vereinheitlichung der Bezeichnungen folgt einem Vorschlag von [Denavit und Hartenberg](#) [15].

Danach läßt man die Gelenkachsen von Gelenk i und von Gelenk (i+1) mit den z-Achsen der Koordinatensysteme (i-1) und i zusammenfallen. Bild 14-2 stellt die Situation für den Fall zweier Drehgelenke dar.



**Bild 14-2:** Koordinatensysteme nach Denavit-Hartenberg bei zwei Drehgelenken. Der besseren Lesbarkeit wegen sind die Koordinatensysteme nach unten gezogen.

Bild 14-2 zeigt, daß die Werte  $a_i$  und  $\alpha_i$  durch die Gelenkkonstruktion festgelegt sind. Der kleinste Abstand der beiden Achsen des Gliedes wird definiert durch die gemeinsame Normale der Achsen und heißt  $a_i$ . Der Winkel, um den man die erste Achse drehen muß, damit sie parallel zur zweiten wird, heißt  $\alpha_i$ . Da  $a_i$  ein Abstand ist, gilt  $a_i \geq 0$ .

Der Winkel  $\alpha_i$  dagegen ist vorzeichenbehaftet. Man mißt ihn in einer Ebene senkrecht zur gemeinsamen Normale der Achsen. Dabei geht man längs der Normalen von der (i-1)-ten Achse zur i-ten, was die Richtung von  $x_i$  bestimmt. Schaut man von der Pfeilspitze von  $x_i$  aus auf die genannte Ebene, so kann man dort den mathematisch positiven Sinn wie üblich als Gegenuhrzeigersinn definieren. Dementsprechend wird das Vorzeichen von  $\alpha_i$  festgelegt. Falls ausnahmsweise  $a_i = 0$  ist (und die Achsen dann nicht parallel sind), steht die  $x_i$ -Achse senkrecht zu den Gelenkachsen  $z_{i-1}$  und  $z_i$ , wobei  $z_{i-1}$ ,  $z_i$  und  $x_i$  ein Rechtssystem bilden.

Die Parameter  $a_i$  und  $\alpha_i$  beschreiben ein beliebiges Glied des Roboters, das nicht Anfangs- oder Endglied der offenen kinematischen Kette ist, durch Abstand und Winkel zwischen seinen beiden Achsen.

Zur Beschreibung der Gelenkkoordinatensysteme  $(i-1)$ ,  $i$  usw. genügen diese beiden Parameter noch nicht. Man benötigt zusätzlich die vorzeichenbehaftete Verschiebung von  $O_{i-1}$  (bestimmt durch  $a_{i-1}$ ) zum Fußpunkt  $F_i$  längs der  $z_{i-1}$ -Achse.

Damit läßt sich nun das  $i$ -te Koordinatensystem aus dem  $(i-1)$ -ten ableiten, sobald  $q_i$  bekannt ist. Bild 14-2 stellt dies dar. Die  $y_i$ -Achse wurde nicht eingezeichnet, weil sie in diesem Beispiel mit der Parallelen zur  $z_{i-1}$ -Achse zusammenfällt. Ganz allgemein wird sie so bestimmt, daß das  $x_i$ - $y_i$ - $z_i$ -System ein Rechtssystem bildet. Im Sonderfall, daß die beiden Gelenkachsen parallel sind, könnte man den Fußpunkt  $F_i$  beliebig wählen. Man wählt ihn dann so, daß  $d_i = 0$  wird.

Im Beispiel von Bild 14-2 mit zwei Drehachsen kann der Übergang vom  $(i-1)$ -ten zum  $i$ -ten Koordinatensystem in drei aufeinanderfolgenden Schritten erfolgen:

1. Drehung um die Achse  $z_{i-1}$  um den Winkel  $q_i$
2. Translation  $O_{i-1} \rightarrow O_i$
3. Drehung um die Achse  $x_i$  um den Winkel  $\alpha_i$

Dem entsprechen die Matrizen

$$\begin{pmatrix} \cos q_i & -\sin q_i & 0 & 0 \\ \sin q_i & \cos q_i & 0 & 0 \\ 0 & 0 & 1 & 0 \\ 0 & 0 & 0 & 1 \end{pmatrix}, \begin{pmatrix} 1 & 0 & 0 & a_i \\ 0 & 1 & 0 & 0 \\ 0 & 0 & 1 & d_i \\ 0 & 0 & 0 & 1 \end{pmatrix} \quad \text{und} \quad \begin{pmatrix} 1 & 0 & 0 & 0 \\ 0 & \cos \alpha_i & -\sin \alpha_i & 0 \\ 0 & \sin \alpha_i & \cos \alpha_i & 0 \\ 0 & 0 & 0 & 1 \end{pmatrix}$$

Deren Produkt liefert die Matrix für die Koordinatentransformation vom  $(i-1)$ -ten zum  $i$ -ten System

$${}^{i-1}T_i = \begin{pmatrix} \cos q_i & -\sin q_i \cos \alpha_i & \sin q_i \sin \alpha_i & a_i \cos q_i \\ \sin q_i & \cos q_i \cos \alpha_i & -\cos q_i \sin \alpha_i & a_i \sin q_i \\ 0 & \sin \alpha_i & \cos \alpha_i & d_i \\ 0 & 0 & 0 & 1 \end{pmatrix} \quad (14.1)$$

Wie man sieht, hängt die Koordinatentransformation von vier Parametern ab, auch „link parameter“ genannt. Dies sind  $a_i$ ,  $\alpha_i$ ,  $d_i$  und  $q_i$ .

Die Parameter  $a_i$  und  $\alpha_i$  sind konstruktiv durch das  $i$ -te Glied gegeben. Dagegen sind  $q_i$  und  $d_i$  abhängig von der Verbindung der Glieder  $(i-1)$  und  $i$  über Gelenk  $i$ .

Ist Gelenk  $i$  eine Drehachse, so ist  $d_i$  entsprechend Bild 14-2 konstruktiv gegeben und folglich konstant, während der Drehwinkel zwischen den Gliedern  $(i-1)$  und  $i$  variabel ist. Er ist die Gelenkkoordinate und wird deshalb mit  $q_i$  bezeichnet.

Ist dagegen Gelenk  $i$  eine Linearachse (prismatische Achse), so ist  $d_i$  variabel und wird deshalb als  $q_i$  bezeichnet. Der Winkel zwischen den Gliedern  $(i-1)$  und  $i$  ist wegen der prismatischen Führung konstruktiv festgelegt und somit konstant. Er wird mit  $\vartheta_i$  bezeichnet. Bild 14-3 deutet dies an.

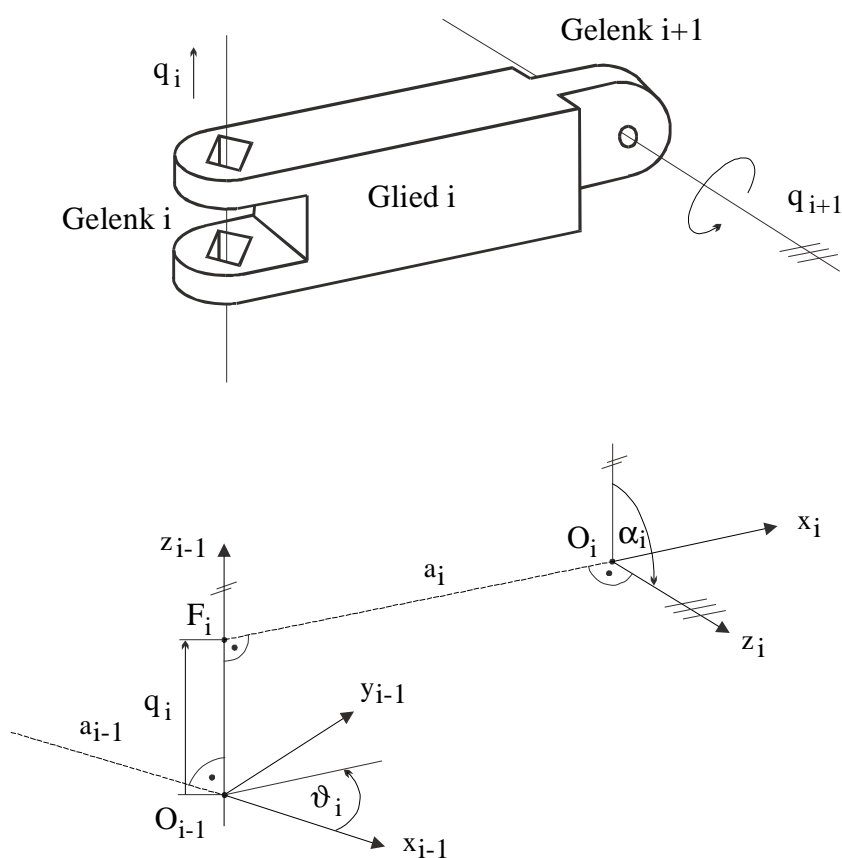


Bild 14-3: Koordinatensysteme nach Denavit-Hartenberg, falls das  $i$ -te Gelenk ein prismaisches Gelenk (Linearachse) ist.

Die Überlegungen von oben sind ansonsten dieselben. Nur erhält man jetzt

$${}^{i-1}T_i = \begin{pmatrix} \cos \vartheta_i & -\sin \vartheta_i \cos \alpha_i & \sin \vartheta_i \sin \alpha_i & a_i \cos \vartheta_i \\ \sin \vartheta_i & \cos \vartheta_i \cos \alpha_i & -\cos \vartheta_i \sin \alpha_i & a_i \sin \vartheta_i \\ 0 & \sin \alpha_i & \cos \alpha_i & q_i \\ 0 & 0 & 0 & 1 \end{pmatrix} \quad (14.2)$$

Man kann die Gleichungen (14.1) und (14.2) zusammenfassen zu

$${}^{i-1}T_i = \begin{pmatrix} \cos \vartheta_i & -\sin \vartheta_i \cos \alpha_i & \sin \vartheta_i \sin \alpha_i & a_i \cos \vartheta_i \\ \sin \vartheta_i & \cos \vartheta_i \cos \alpha_i & -\cos \vartheta_i \sin \alpha_i & a_i \sin \vartheta_i \\ 0 & \sin \alpha_i & \cos \alpha_i & d_i \\ 0 & 0 & 0 & 1 \end{pmatrix} \quad (14.3)$$

wobei gilt:

$\vartheta_i = q_i$  falls das i-te Gelenk eine Drehachse

$d_i = q_i$  falls das i-te Gelenk eine Linearachse

Weiter gilt:  $\vartheta_i$  = Orientierter Winkel zwischen den Achsen  $x_{(i-1)}$  und  $x_i$

$\alpha_i$  = Orientierter Winkel zwischen den Achsen  $z_{(i-1)}$  und  $z_i$

Bemerkungen: - Mit Gleichung (14.3) lassen sich alle 4 Fälle behandeln, die zu Beginn von Abschnitt 14.1 erwähnt wurden. Vorausgesetzt wird dabei, daß das (i-1)-te System bereits festgelegt ist.

- Der Sockel eines Industrieroboters ist Glied 0. Das 0-te Koordinatensystem ist mit diesem Sockel fest verbunden und heißt Bezugssystem (reference frame) oder auch „Weltkoordinatensystem“. Es wird bei einer Drehachse so gewählt, daß sich  $d_i = 0$  ergibt. Entsprechend wählt man bei einer Linearachse  $\vartheta_i = 0$ .

- Als n-tes Glied wählt man den Greifer, dessen „Handwurzel“ (auch „Tool Center Point“ oder TCP) im Ursprung  $O_{n-1}$  und dessen „Werkzeugspitze“ (tooltip) in  $O_n$  sitzt.

Unter diesen Voraussetzungen enthält jede der Matrizen (14.3) genau eine der Gelenkkordinaten  $q_1, q_2, \dots, q_n$ . Die Multiplikation aller n Matrizen  ${}^{i-1}T_i$  führt dann zu

$$T = {}^0T_n = {}^0T_1 \cdot {}^1T_2 \cdot {}^2T_3 \cdot \dots \cdot {}^{(n-1)}T_n \quad (14.4)$$

sowie

$$X = X_0 = T \cdot X_n \quad (14.5)$$

wobei T die Gestalt

$$T = \begin{pmatrix} a_{11} & a_{12} & a_{13} & a_{14} \\ a_{21} & a_{22} & a_{23} & a_{24} \\ a_{31} & a_{32} & a_{33} & a_{34} \\ 0 & 0 & 0 & 1 \end{pmatrix}$$

annimmt (warum?). Die  $a_{ik}$  hängen von den Gelenkkoordinaten  $q_1, \dots, q_n$  ab.

Wählt man nun  $X_n = (0, 0, 0, 1)^T$  als Koordinaten von Tooltip im n-ten Koordinatensystem, so erhält man wegen (14.5) die Koordinaten von Tooltip im Weltkoordinatensystem zu

$$X_{\text{Tooltip}} = (a_{14}, a_{24}, a_{34}, 1)^T \quad (14.6)$$

(nachrechnen!). Die Orientierung des Greifers bzw. des Greiferkoordinatensystems wird durch die Matrix

$$\begin{pmatrix} a_{11} & a_{12} & a_{13} \\ a_{21} & a_{22} & a_{23} \\ a_{31} & a_{32} & a_{33} \end{pmatrix}$$

bestimmt. Die  $a_{ik}$  sind nicht unabhängig, weil die Matrix orthogonal ist. Deshalb kann man die Eulerwinkel  $\psi, \vartheta, \varphi$  auf verschiedene Weise berechnen. Eine Möglichkeit zeigt [Vukobratovic \[2\]](#):

$$\begin{aligned} \psi &= \text{atan2}(a_{21}, a_{11}) \\ \vartheta &= \text{atan2}(-a_{31}, (a_{11} \cos \psi + a_{21} \sin \psi)) \\ \varphi &= \text{atan2}(a_{32}, a_{33}) \end{aligned} \quad (14.7)$$

Damit ist das direkte kinematische Problem vollständig gelöst. Folgende Schritte waren erforderlich:

1. Bestimmen der Koordinatensysteme, z.B. nach Denavit-Hartenberg,
2. Bestimmen der Matrizen  ${}^{(i-1)}T_i$ , die von den jeweils gegebenen Gelenkkoordinaten abhängen,
3. Berechnen von  $T$  nach Gleichung (4) durch Matrizenmultiplikation,
4. Berechnen der externen Koordinaten (Tooltip)  $x, y, z$  aus (14.6) und
5. Berechnen der Eulerwinkel  $\psi, \vartheta, \varphi$  nach (14.7).

**Bemerkung:** Verschieden Autoren haben Bezeichnungen, die leicht von den hier verwendeten abweichen. So wählt z.B. [Craig \[3\]](#) jeweils um 1 verminderte Indizes und [Vukobratovic \[2\]](#) setzt bei prismatischen Achsen stets  $a_i = 0$ , was zwar die Matrix etwas vereinfacht, aber zu Fallunterscheidungen führt.

## 14.2 Direktes kinematisches Problem am Beispiel

Gegeben sei ein System nach Bild 14-4. Für bekannte Gelenkkoordinaten sind die externen Koordinaten  $(x, y, z, \psi, \vartheta, \phi)^T$  zu bestimmen. Dabei wird sich zeigen, daß die Hauptschwierigkeit in der richtigen Anordnung der Koordinatensysteme und der Bestimmung der Parameter  $a_i, \alpha_i, d_i, \vartheta_i$  liegt. Das dargestellte System ist kein bekannter Standardtyp eines Roboters. Es enthält aber Dreh- und Linearachsen und ist deshalb als Übungsbeispiel für die Behandlung des direkten kinematischen Problems geeignet.

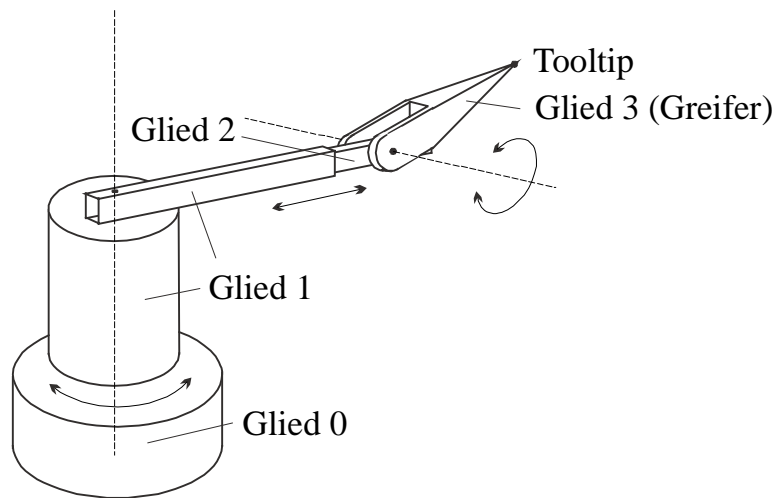


Bild 14-4: System mit zwei Drehachsen und einer Linearachse.

Dem Rezept von Seite 14-6 folgend werden zunächst geeignete Koordinatensysteme bestimmt. Das Weltkoordinatensystem (reference frame)  $x_0-y_0-z_0$  wird gemäß der zweiten Bemerkung von Seite 14-5 so gewählt, daß  $d_1 = 0$  wird. Siehe Bild 14-5.

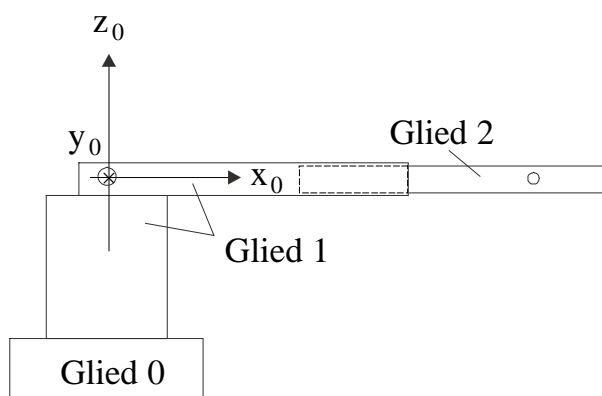


Bild 14-5: Wahl von  $x_0-y_0-z_0$ . Dabei zeigt  $y_0$  nach hinten. In dieser Skizze ist zunächst angenommen, daß die Linearachse von Glied 1 mit der x-Achse  $x_0$  des Weltkoordinatensystems zusammenfällt.

Glied 1 wird durch die Drehachse  $z_0$  und die Linearachse  $z_1$  bestimmt. Die Orientierung von  $z_1$  ist beliebig. Da sich beide Achsen schneiden, ist  $x_1$  rechtwinklig zu  $z_0$  und  $z_1$  in der Weise zu wählen, daß  $z_0, z_1, x_1$  ein Rechtssystem bilden. Bild 14-6 zeigt das von oben.

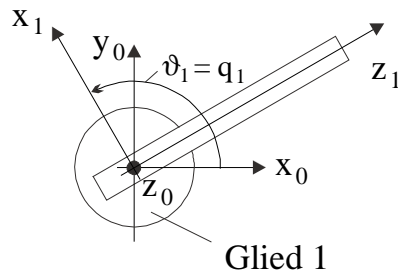


Bild 14-6:  $z_0, z_1$  und  $x_1$  bilden ein Rechtssystem. Beachten Sie, daß  $q_1$  der Winkel zwischen  $x_0$  und  $x_1$  ist und nicht etwa zwischen  $x_0$  und  $z_1$  !

Glied 2 wird durch die Linearachse  $z_1$  und die Drehachse  $z_2$  bestimmt. Auch hier schneiden sich beide Achsen. Somit ist auch  $x_2$  rechtwinklig zu  $z_1$  und  $z_2$  in der Weise zu wählen, daß  $z_1, z_2, x_2$  ein Rechtssystem bilden. Bild 14-7 zeigt dies ebenfalls von oben.

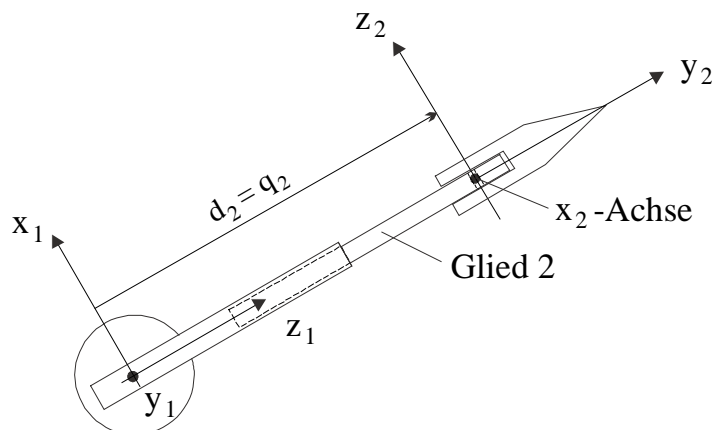
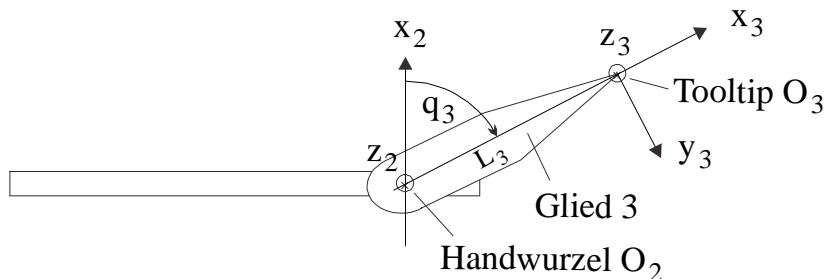


Bild 14-7: Die Orientierung von  $z_2$  in der Achse des Drehgelenks ist willkürlich. Danach aber ist  $x_2$  so zu wählen, daß  $z_1, z_2$  und  $x_2$  ein Rechtssystem bilden. Daher weist die  $x_2$ -Achse nach vorn. Die Gelenkkoordinate  $q_2$  ist eine Verschiebung, also ist hier  $q_2 = d_2$ .

Glied 3 schließlich ist der Greifer, dessen Länge von der Handwurzel zur Greiferpitze (tooltip) mit  $L_3$  bezeichnet werde. Das  $x_3-y_3-z_3$ -System wird mit seinem Ursprung in Tooltip gewählt. Eine weitere reale Achse existiert dort nicht, also wird



man die  $z_3$ -Achse am einfachsten parallel und gleichgerichtet zu  $z_2$  wählen. Die Orientierung von  $x_2$  ist durch  $a_3 = L_3$  gegeben, genauer: durch den Vektor von der Handwurzel zu Tooltip. Damit ergibt sich auch  $y_3$ . Bild 14-8 zeigt das, diesmal in Seitenansicht.



**Bild 14-8:** Koordinatensysteme für Glied 3, den Greifer. Die Achsen  $z_2$  und  $z_3$  weisen beide nach hinten.

Aus den Bildern 14-5 bis 14-8 liest man nun die Werte für  $a_i$ ,  $\alpha_i$ ,  $d_i$  und  $\vartheta_i$  ab. Am besten trägt man sie in eine Tabelle nach dem Muster von Tabelle 14-1 ein.

**Tabelle 14-1:** Werte für  $a_i$ ,  $\alpha_i$ ,  $d_i$  und  $\vartheta_i$  für den Roboter aus Bild 14-4

$i$	$a_i$	$\alpha_i$	$d_i$	$\vartheta_i$
1	0	$90^0$	0	$q_1$
2	0	$90^0$	$q_2$	$90^0$
3	$L_3$	$0^0$	0	$q_3$

Mit Hilfe von Formel (14.3) und den Werten aus Tabelle 14-1 bestimmt man nun die Matrizen  ${}^{(i-1)}T_i$ :

$${}^0T_1 = \begin{pmatrix} \cos q_1 & 0 & \sin q_1 & 0 \\ \sin q_1 & 0 & -\cos q_1 & 0 \\ 0 & 1 & 0 & 0 \\ 0 & 0 & 0 & 1 \end{pmatrix}, \quad {}^1T_2 = \begin{pmatrix} 0 & 0 & 1 & 0 \\ 1 & 0 & 0 & 0 \\ 0 & 1 & 0 & q_2 \\ 0 & 0 & 0 & 1 \end{pmatrix} \quad \text{und}$$

$${}^2T_3 = \begin{pmatrix} \cos q_3 & -\sin q_3 & 0 & L_3 \cos q_3 \\ \sin q_3 & \cos q_3 & 0 & L_3 \sin q_3 \\ 0 & 0 & 1 & 0 \\ 0 & 0 & 0 & 1 \end{pmatrix}$$

Daraus erhält man mit Matrizenmultiplikation nach dem Falkschen Schema

	${}^1T_2$	${}^2T_3$
	$\begin{pmatrix} 0 & 0 & 1 & 0 \\ 1 & 0 & 0 & 0 \\ 0 & 1 & 0 & q_2 \\ 0 & 0 & 0 & 1 \end{pmatrix}$	$\begin{pmatrix} \cos q_3 & -\sin q_3 & 0 & L_3 \cos q_3 \\ \sin q_3 & \cos q_3 & 0 & L_3 \sin q_3 \\ 0 & 0 & 1 & 0 \\ 0 & 0 & 0 & 1 \end{pmatrix}$
$\begin{pmatrix} \cos q_1 & 0 & \sin q_1 & 0 \\ \sin q_1 & 0 & -\cos q_1 & 0 \\ 0 & 1 & 0 & 0 \\ 0 & 0 & 0 & 1 \end{pmatrix}$	$\begin{pmatrix} 0 & \sin q_1 & \cos q_1 & q_2 \sin q_1 \\ 0 & -\cos q_1 & \sin q_1 & -q_2 \cos q_1 \\ 1 & 0 & 0 & 0 \\ 0 & 0 & 0 & 1 \end{pmatrix}$	$\begin{pmatrix} s q_1 s q_3 & s q_1 c q_3 & c q_1 & s q_1 (L_3 s q_3 + q_2) \\ -c q_1 s q_3 & -c q_1 c q_3 & s q_1 & -c q_1 (L_3 s q_3 + q_2) \\ c q_3 & -s q_3 & 0 & L_3 c q_3 \\ 0 & 0 & 0 & 1 \end{pmatrix}$
${}^0T_1$	${}^0T_1 \cdot {}^1T_2$	$T = {}^0T_3 = {}^0T_1 \cdot {}^1T_2 \cdot {}^2T_3$

Die Elemente von T sind abgekürzt geschrieben:  $s q_i$  für  $\sin q_i$  und  $c q_i$  für  $\cos q_i$ .

Bei längeren allgemeinen Rechnungen ist es zweckmäßig, eine Probe mit einem Zahlenbeispiel zu machen: Wählt man z.B.  $L_3 = 1$  (m) sowie

$$\begin{aligned} q_1 &= 120^\circ & (\text{siehe Bild 14-6}), \\ q_2 &= 1 \text{ (m)} & (\text{siehe Bild 14-7}), \\ q_3 &= 30^\circ & (\text{siehe Bild 14-8}), \end{aligned}$$

so überzeugt man sich anhand von kleinen Skizzen auch ohne Rechnung, daß

$$X_{\text{Tooltip}} = \left( \frac{3}{4}\sqrt{3}, \frac{3}{4}, \frac{1}{2}\sqrt{3}, 1 \right)^T$$

ist. Die Berechnung von T mit diesen Werten führt zu

$$T = \begin{pmatrix} \frac{1}{4}\sqrt{3} & \frac{1}{4} & -\frac{1}{2} & \frac{3}{4}\sqrt{3} \\ \frac{1}{4} & \frac{1}{4}\sqrt{3} & \frac{1}{2}\sqrt{3} & \frac{3}{4} \\ \frac{1}{2}\sqrt{3} & -\frac{1}{2} & 0 & \frac{1}{2}\sqrt{3} \\ 0 & 0 & 0 & 1 \end{pmatrix}$$

Man erkennt, daß die rechte Spalte offenbar den Vektor  $X_{\text{Tooltip}}$  darstellt.

Die Eulerwinkel errechen sich nach Gleichung (14.7) zu

$$\psi = \text{atan2}\left(\frac{1}{4}, -\frac{1}{4}\sqrt{3}\right) = \text{atan}\left(1/\sqrt{3}\right) = 30^\circ$$

$$\begin{aligned}\vartheta &= \text{atan2}\left(-\frac{1}{2}\sqrt{3}, \left(\frac{1}{4}\sqrt{3}\cos 30^\circ + \frac{1}{4}\sin 30^\circ\right)\right) = \text{atan2}\left(-\frac{1}{2}\sqrt{3}, \frac{1}{2}\right) \\ &= \text{atan}\left(-\sqrt{3}\right) = 60^\circ\end{aligned}$$

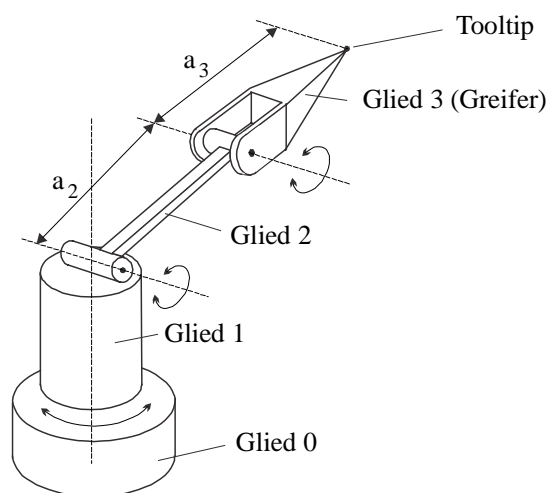
$$\phi = \text{atan2}\left(-1/2, 0\right) = -90^\circ$$

Auch hier überzeugt man sich ohne allzugroße Mühe, daß diese Ergebnisse den Skizzen entsprechen.

**Aufgabe 14-1:** Berechnen sie die Matrix  $\begin{pmatrix} a_{11} & a_{12} & a_{13} \\ a_{21} & a_{22} & a_{23} \\ a_{31} & a_{32} & a_{33} \end{pmatrix}$ , wenn für ein System die Eulerwinkel  $\psi$ ,  $\vartheta$  und  $\phi$  gegeben sind.

Anleitung:  $\psi$ ,  $\vartheta$  und  $\phi$  sind durch drei Drehungen definiert, denen Matrizen zugeordnet sind. Bestimmen Sie diese. Das Produkt der drei Matrizen bestimmt die Transformation von einem zum Weltkoordinatensystem parallelen Bezugssystem zum System der Greiferkoordinaten, muß also gleich der gegebenen Matrix sein. Die Lösung kann bei [Vukobratovic \[2\]](#) nachgelesen werden.

**Aufgabe 14-2:** Berechnen Sie die Matrix T für den Roboter in Bild 14-9. Lösung siehe [Abschnitt 17.3.2](#).



**Bild 14-9:** Roboter mit drei Drehachsen.

### 14.3 Inverses kinematisches Problem

Das Beispiel des Scara hat gezeigt ([Vorlesung 13.1.2](#)), daß die Lösung des inversen kinematischen Problems schwieriger sein kann als die Lösung des direkten Problems. Dies gilt überwiegend auch für andere Robotertypen. In manchen Fällen läßt sich überhaupt keine analytische Lösung finden, und man ist auf numerische Verfahren angewiesen. Man unterscheidet also auch auf dem Gebiet der Roboterkinematik

- analytische Verfahren und
- numerische Verfahren.

Eines dieser numerischen Verfahren soll anschließend erläutert werden, und zwar ebenfalls am Beispiel des Scara:

Zur Vereinfachung beschränken wir uns auf die Berechnung von  $(q_1, q_2, \dots, q_n)$  als Funktion von  $(x, y, z)$  ohne Berücksichtigung des Rollwinkels. Es seien  $(x, y, z)$  die Koordinaten der Greiferhandwurzel. Dann gilt nach Gleichung [\(13.1\)](#)

$$\begin{aligned} x &= L_1 \cos \vartheta_1 + L_2 \cos(\vartheta_1 + \vartheta_2) &= f_1(q_1, q_2, q_3) \\ y &= L_1 \sin \vartheta_1 + L_2 \sin(\vartheta_1 + \vartheta_2) &= f_2(q_1, q_2, q_3) \end{aligned} \quad (14.8)$$

sowie  $z = q_3 = f_3(q_1, q_2, q_3)$

mit  $q_1 = \vartheta_1$  und  $q_2 = \vartheta_2$ .

Kennt man nun für einen Punkt  $(x_0, y_0, z_0)$  die Lösung  $(q_{10}, q_{20}, q_{30})$ , so kann man die Lösung für einen benachbarten Punkt  $(x, y, z) = (x_0 + dx, y_0 + dy, z_0 + dz)$  näherungsweise numerisch errechnen. Dazu verwendet man den Satz von Taylor für Funktionen von mehreren Variablen:

$$dx = x - x_0 = f_1(q_1, q_2, q_3) - f_1(q_{10}, q_{20}, q_{30}) \approx \left( \frac{\partial f_1}{\partial q_1} dq_1 + \frac{\partial f_1}{\partial q_2} dq_2 + \frac{\partial f_1}{\partial q_3} dq_3 \right)_{(q_1, q_2, q_3) = (q_{10}, q_{20}, q_{30})} \quad (14.9)$$

Entsprechend

$$dy = y - y_0 = f_2(q_1, q_2, q_3) - f_2(q_{10}, q_{20}, q_{30}) \approx \left( \frac{\partial f_2}{\partial q_1} dq_1 + \frac{\partial f_2}{\partial q_2} dq_2 + \frac{\partial f_2}{\partial q_3} dq_3 \right)_{(q_1, q_2, q_3) = (q_{10}, q_{20}, q_{30})}$$

$$dz = z - z_0 = f_3(q_1, q_2, q_3) - f_3(q_{10}, q_{20}, q_{30}) \approx \left( \frac{\partial f_3}{\partial q_1} dq_1 + \frac{\partial f_3}{\partial q_2} dq_2 + \frac{\partial f_3}{\partial q_3} dq_3 \right)_{(q_1, q_2, q_3) = (q_{10}, q_{20}, q_{30})}$$

Das schreibt man wie folgt in Matrizenform:

$$\begin{pmatrix} dx \\ dy \\ dz \end{pmatrix} \approx \begin{pmatrix} \frac{\partial f_1}{\partial q_1} & \frac{\partial f_1}{\partial q_2} & \frac{\partial f_1}{\partial q_3} \\ \frac{\partial f_2}{\partial q_1} & \frac{\partial f_2}{\partial q_2} & \frac{\partial f_2}{\partial q_3} \\ \frac{\partial f_3}{\partial q_1} & \frac{\partial f_3}{\partial q_2} & \frac{\partial f_3}{\partial q_3} \end{pmatrix} \cdot \begin{pmatrix} dq_1 \\ dq_2 \\ dq_3 \end{pmatrix} \quad (14.10)$$

oder

$$dX = J(q_1, q_2, q_3) \cdot dQ$$

mit  $dQ = (dq_1, dq_2, dq_3)^T$  und der **Jacobi-Matrix** (englisch: Jacobian)

$$J = \begin{pmatrix} \frac{\partial f_1}{\partial q_1} & \frac{\partial f_1}{\partial q_2} & \frac{\partial f_1}{\partial q_3} \\ \frac{\partial f_2}{\partial q_1} & \frac{\partial f_2}{\partial q_2} & \frac{\partial f_2}{\partial q_3} \\ \frac{\partial f_3}{\partial q_1} & \frac{\partial f_3}{\partial q_2} & \frac{\partial f_3}{\partial q_3} \end{pmatrix} \quad (14.11)$$

Beim Scara ist wegen der Gleichungen (14.8)

$$J = \begin{pmatrix} -L_1 \sin q_1 - L_2 \sin(q_1 + q_2) & -L_2 \sin(q_1 + q_2) & 0 \\ L_1 \cos q_1 + L_2 \cos(q_1 + q_2) & L_2 \cos(q_1 + q_2) & 0 \\ 0 & 0 & 1 \end{pmatrix} \quad (14.12)$$

Die Determinante  $D(J)$  läßt sich relativ einfach berechnen. Man erhält

$$D(J) = L_1 L_2 \sin q_2 \quad (14.13)$$

$D(J)$  verschwindet also nur für  $q_2 = 0 + k \cdot \pi$ . Wegen der mechanischen Einschränkungen ist für uns nur  $q_2 = 0$  von Interesse. Für alle anderen Werte von  $q_2 = \vartheta_2$  ist  $D(J)$  ungleich Null, sodaß die Inverse  $J^{-1}$  existiert. Es gilt

$$J^{-1} = \frac{1}{D(J)} \begin{pmatrix} L_2 \cos(q_1 + q_2) & L_2 \sin(q_1 + q_2) & 0 \\ -L_1 \cos q_1 - L_2 \cos(q_1 + q_2) & -L_1 \sin q_1 - L_2 \sin(q_1 + q_2) & 0 \\ 0 & 0 & D(J) \end{pmatrix} \quad (14.14)$$

**Aufgabe 14-3:** Bestätigen Sie durch Bilden der partiellen Ableitungen in (14.8) die Gleichung (14.12) für die Jacobi-Matrix.

**Aufgabe 14-4:** Bestätigen Sie Gleichung (14.13) für die Determinante der Jacobi-Matrix.

**Aufgabe 14-5:** Invertieren Sie die Jacobi-Matrix (14.12) für  $D(J) \neq 0$  und bestätigen Sie Gleichung (14.14). Benutzen Sie dabei den Satz über Matrizen, wonach für

$$A = \begin{pmatrix} a_{11} & a_{12} & a_{13} \\ a_{21} & a_{22} & a_{23} \\ a_{31} & a_{32} & a_{33} \end{pmatrix} \quad \text{und} \quad D(A) \neq 0 \quad \text{gilt}$$

$$A^{-1} = \frac{1}{D(A)} \begin{pmatrix} A_{11} & A_{12} & A_{13} \\ A_{21} & A_{22} & A_{23} \\ A_{31} & A_{32} & A_{33} \end{pmatrix}^T$$

Darin sind die  $A_{ik}$  die Adjunkten von  $A$ . Beachten Sie, daß die Matrix mit den Elementen  $A_{ik}$  noch zu transponieren ist !!!

Mit Hilfe der Jacobi-Matrix und ihrer Inversen kann man von einem Punkt  $P_0$ , für den sowohl die externen Koordinaten als auch die Gelenkkoordinaten bekannt sind, die Gelenkkoordinaten eines Punktes  $P$  berechnen, der sich in einer gewissen Nachbarschaft von  $P_0$  befindet. Diese Nachbarschaft muß so klein sein, daß die Taylor-schen Näherungen (14.9) nicht zu ungenau sind. Man formt dann (14.10) um zu

$$dQ = J^{-1}(q_1, q_2, q_3) \cdot dX$$

$$\text{oder} \quad Q = Q_0 + J^{-1}(q_1, q_2, q_3) \cdot (X - X_0) \quad (14.15)$$

Ist der Abstand  $|X - X_0|$  zu groß, kann man die Strecke zerlegen und Gleichung (14.15) mehrfach anwenden. Damit sich die Fehler nicht addieren, kann man nach jedem Schritt die direkte kinematische Transformation durchführen und von dem korrigierten Punkt aus weiter arbeiten.

Zahlenbeispiel: An einem der IBM 7575 im Robotik-Labor hat die Homeposition die Koordinaten  $X_0 = (213.46 \text{ mm}, 51.98 \text{ mm})$  mit  $Q_0 = (-30^\circ, 137.59^\circ)$ . Möchte man auf einer Geraden zum Punkt  $X_{\text{end}} = (300 \text{ mm}, 400 \text{ mm})$  fahren, so benötigt die Steuerung das zugehörige  $Q_{\text{end}}$  und verschiedene Zwischenwerte zwischen  $Q_0$  und  $Q_{\text{end}}$ , damit eine hinreichend genaue Gerade durchlaufen wird.

Die  $z$ -Koordinate wird im Beispiel außer acht gelassen, weil ohnehin  $q_3 = z$  ist. Das vereinfacht die Rechnung. Die Strecke zwischen  $X_0$  und  $X_{\text{end}}$  wird in 5 gleich lange Teilstrecken mit den Zwischenpunkten  $X_1, X_2, X_3, X_4, X_5 = X_{\text{end}}$  unterteilt. Die Koordinaten der Punkte sind dann

$$\begin{aligned} X_0 &= (213.46, 51.98) &= (x_0, y_0) \\ X_1 &= (230.77, 121.58) &= (x_0 + 17.31, y_0 + 69.60) \\ \\ X_2 &= (248.08, 191.18) \\ X_3 &= (265.39, 260.79) \\ X_4 &= (282.70, 330.39) \\ X_5 &= (300.00, 400.00) &= X_{\text{end}} \end{aligned}$$

Setzt man nun  $L_1 = 325$  und  $L_2 = 225$  (Armlängen des IBM 7575), und folgt dem oben vorgeschlagenen Verfahren, indem man wiederholt die Gleichungen (14.15) und (14.8) benutzt, erhält man das Rechenschema Tabelle 14-2 und die Werte von Tabelle 14-3.

Tabelle 14-2: Schema der numerischer Näherungsrechnung von  $X_i$  und  $Q_i$  für den IBM 7575 im Falle eines Weges von der Home-Position zum Punkte (300, 400) in 5 Schritten.

i	$x_i$	$y_i$	$q_{1i}$	$q_{2i}$	nach Gl. (14.8)		für Gl. (14.15)	
					$x_{i\text{real}}$	$y_{i\text{real}}$	$dx$	$dy$
0	$x_0$	$y_0$	$q_{10}$	$q_{20}$	$x_0$	$y_0$	$x_1 - x_0$	$y_1 - y_0$
1	$x_1$	$y_1$	$q_{11}$	$q_{21}$	$x_{1\text{real}}$	$y_{1\text{real}}$	$x_2 - x_{1\text{real}}$	$y_2 - y_{1\text{real}}$
2	$x_2$	$y_2$	$q_{12}$	$q_{22}$	$x_{2\text{real}}$	$y_{2\text{real}}$	$x_3 - x_{2\text{real}}$	$y_3 - y_{2\text{real}}$
...	...	...	...	...	...	...	...	...
4	$x_4$	$y_4$	$q_{14}$	$q_{24}$	$x_{4\text{real}}$	$y_{4\text{real}}$	$x_5 - x_{4\text{real}}$	$y_5 - y_{4\text{real}}$
5	$x_5$	$y_5$	$q_{15}$	$q_{25}$	$x_{5\text{real}}$	$y_{5\text{real}}$	$x_5 - x_{5\text{real}}$	$y_5 - y_{5\text{real}}$
Weitere Iterationen mit festem $x_5$ und $y_5$ , falls $(x_{5\text{real}}, y_{5\text{real}})$ zu weit von $(x_5, y_5)$ entfernt.								

Tabelle 14-3: Werte für  $X_i$  und  $Q_i$  bei numerischer Näherungsrechnung für den IBM 7575 im Falle eines Weges von der Home-Position zum Punkte (300, 400) in 5 Schritten. Ab Schritt 5 wird nachiteriert, um exakt die Gelenkkordinaten von Punkt (300,400) zu erhalten. Alle Winkel  $q_{ik}$  im Bogenmaß. Die Zeile mit dem Index 0 ist gegeben.

i	$x_i$	$y_i$	$q_{1i}$	$q_{2i}$	nach Gl. (14.8)		für Gl. (14.15)	
					$x_{ireal}$	$y_{ireal}$	dx	dy
0	213.46	51.98	-0.5236	2.4014	213.46	51.98	17.310	69.605
1	230.77	121.59	-0.2448	2.2531	219.97	125.05	28.106	66.142
2	248.08	191.19	-0.0545	1.9984	242.49	191.82	22.904	68.970
3	265.39	260.80	+0.1493	1.7270	253.70	262.92	28.998	67.477
4	282.70	330.40	0.3326	1.3796	278.77	326.09	21.245	73.914
5	300.01	400.01	0.5435	0.9614	292.99	392.58	7.011	7.417
5a	300.00	400.00	0.5730	0.8785	299.85	399.61	0.147	0.393
5b	300.00	400.00	0.5746	0.8750	300.00	399.99	0.0004	0.0007
5c	300.00	400.00	0.5746	0.8750	300.00	400.00	-	-

In Bild 14-10 sind die Ergebnisse aus Tabelle 14-3 grafisch dargestellt. Man sieht, daß die Näherungswerte ( $q_{1i}$ ,  $q_{2i}$ ) nur recht ungenau die Zielpunkte ( $x_i$ ,  $y_i$ ) treffen.

Andererseits sieht man, daß am Endpunkt Nummer 5 die Iteration ziemlich rasch konvergiert. Die Werte (dx,dy) verringern sich in zwei Schritten von (7.011, 7.417) mm auf die zu vernachlässigenden Werte von (0.0004, 0.0007) mm. Die Durchführung dieser Iteration ist nichts anderes als die Anwendung des bekannten Newtonschen Näherungsverfahrens in einer verallgemeinerten Form.

Doch sind die analytischen Verfahren in allen Fällen vorzuziehen, in denen sie durchführbar sind. Das trifft z.B. auch für den Scara zu. In anderen Fällen aber muß man eine numerische Methode wählen, z.B. so wie oben gezeigt.

[Kreutzer u.a. \[22\]](#) haben in "Industrieroboter", S. 55, Rechenzeiten für verschiedene Verfahren gegenübergestellt. Dabei zeigt sich, daß das modifizierte Newton-Verfahren bis zu 20 mal soviel Zeit für die inverse kinematische Transformation benötigt, wie verschiedene analytische Methoden. Doch gibt es in manchen Fällen und speziell bei redundanten Robotern keine analytischen Verfahren. Dann muß man numerisch rechnen.

Auf das Problem der Singularität der Jacobi-Matrix, d.h. das Nullwerden von  $D(J)$ , wird in Vorlesung 15 näher eingegangen.



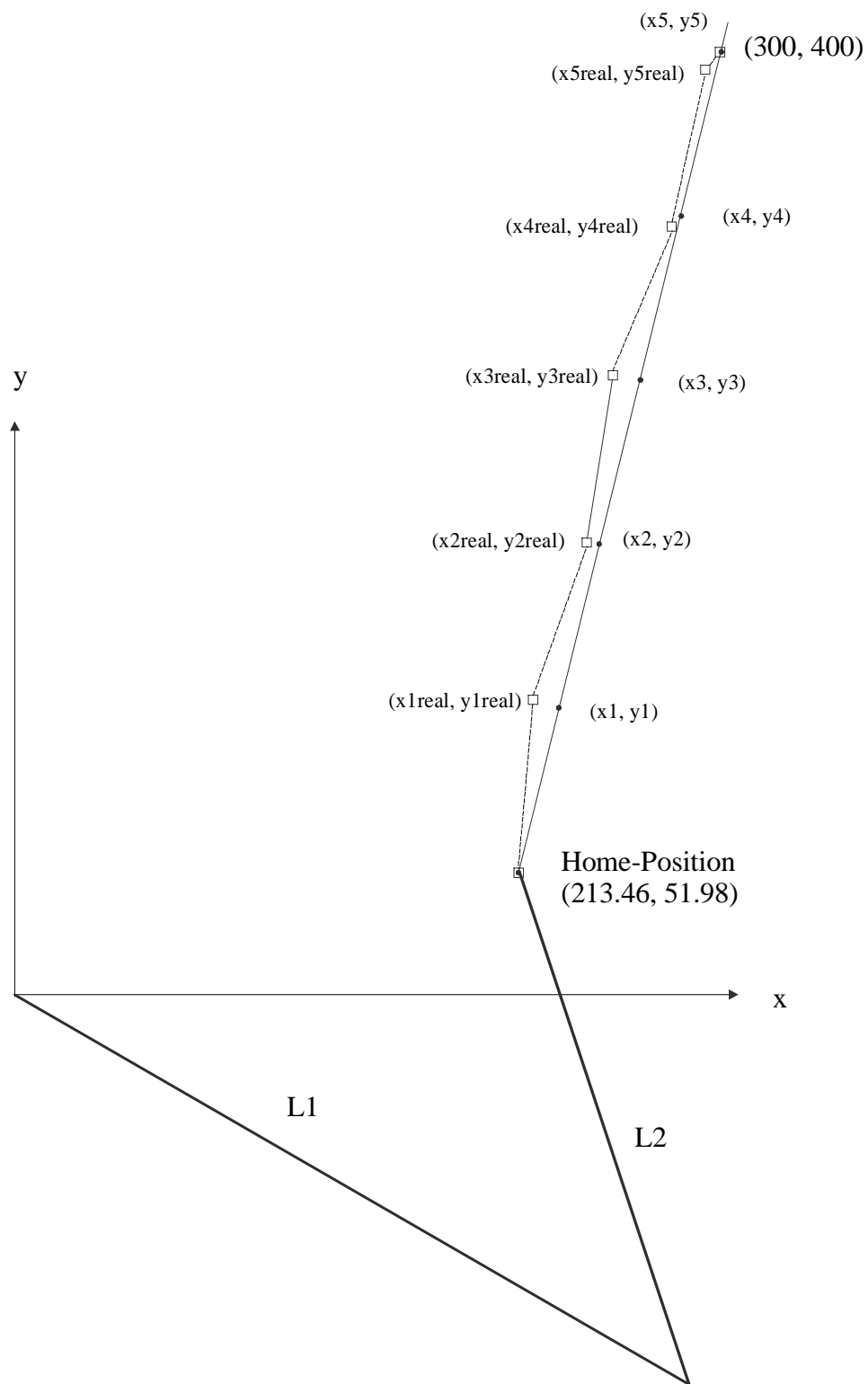


Bild 14-10: Ergebnisse der Näherungsrechnung aus Tabelle 14-3.